1256 NOTIZEN

NOTIZEN

Strahlenchemische Erzeugung von Bleiradikalen aus Hexaphenyldiblei

MARTIN PLATO, WOLFRAM SCHNABEL

und Jürgen Wendenburg

AEG-Forschungsinstitut, Frankfurt/Main

(Z. Naturforschg. 23 b, 1256-1257 [1968]; eingegangen am 12. Juni 1968)

Bei der 60Co-γ-Bestrahlung von polykristallinem Hexaphenyldiblei (Ph₆Pb₂) bei -192 °C haben wir das in Abb. 1 wiedergegebene EPR-Spektrum (X-Band, $\nu_{\rm x} \approx 9.1~{
m GHz}$ erhalten, das im wesentlichen aus einem Liniendublett mit $\bar{g} = 2,0023$ bzw. 1,9437 besteht *. Wir nehmen an, daß die beiden Linien zwei verschiedenen Species zuzuordnen sind, denn bei S-Band-Messungen $(\hat{\nu}_{\rm s} \approx 3.5 \, {\rm GHz})$ verringerte sich ihr Abstand im Verhältnis $\nu_{\rm s}/\nu_{\rm x} \approx 0.4$. Falls die beiden Linien durch Hyperfeinaufspaltung einer einzigen Linie zustandekommen würden, müßte der Linienabstand in beiden Fällen gleich groß sein 1, 2. Die Möglichkeit, die Entstehung des Dubletts auf eine Verzerrung einer Einzellinie als Folge einer g-Faktor-Anisotropie zurückzuführen, kommt nicht in Betracht. Denn nach Kneubühl 3 führt die g-Faktor-Anisotropie in polykristallinen Substanzen ausschließlich zu Signalen, die die Grundlinie nur einmal durchlaufen. Das Spektrum der Abb. 1 durchläuft die Grundlinie zweimal. Die einzelnen Komponenten des Dubletts zeigen aber die für eine g-Faktor-Anisotropie typische Linienform (annähernd axial-symmetrischer Fall).

Da in Atomen hoher Kernladungszahl eine starke Spin-Bahn-Kopplung vorhanden ist, kann von vornherein erwartet werden, daß sich der g-Faktor von Pb-Radikalen deutlich von denen der C-Radikale unterscheidet. Wir ordnen daher die Linie mit g=1,9437 einem Pb-Radikal und die mit g=2,0023 einem C-Radikal zu.

Auch die EPR-Spektren bei $-192\,^{\circ}\mathrm{C}$ γ -bestrahlter fester Lösungen von $\mathrm{Ph_6Pb_2}$ in 2-Methyltetrahydrofuran (MTHF) zeigen das Signal eines Bleiradikals mit g=1,9335 neben dem bekannten 7-Linienspektrum des bestrahlten MTHF $^{4-7}$, das von dem Singulett des in Störstellen eingefangenen Elektrons überlagert wird 7 .

Wie Abb. 2 zeigt, steigt bei gleicher absorbierter Dosis die Konzentration der Pb-Radikale mit wachsendem Ph₆Pb₂-Gehalt des MTHF-Glases an, während gleich-

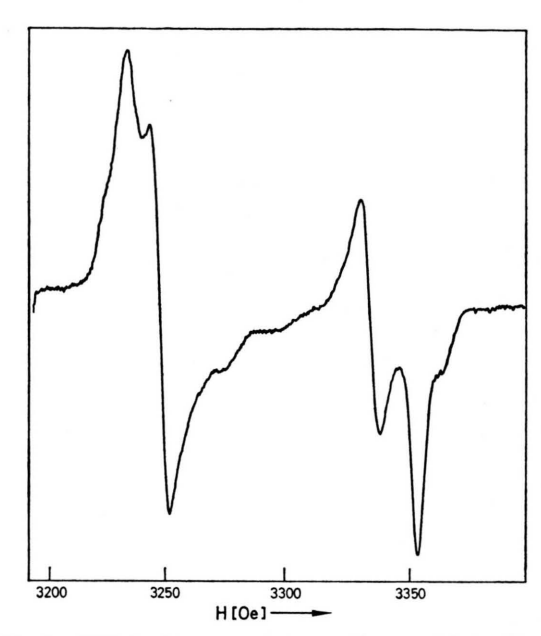


Abb. 1. EPR-Spektrum von γ -bestrahltem polykristallinem Hexaphenyldiblei, aufgenommen bei 9,101 GHz und -192 °C. Absorbierte Dosis $\approx 5 \cdot 10^6$ rad.

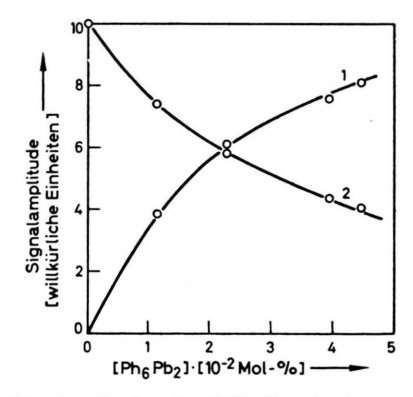


Abb. 2. Die Amplituden der EPR-Signale der paramagnetischen Blei-Species (Kurve 1) und des eingefangenen Elektrons (Kurve 2) in Abhängigkeit von der Ph $_6$ Pb $_2$ -Konzentration. Absorbierte Dosis $\approx 3 \cdot 10^5$ rad.

^{*} $\bar{g}=1/3 (g_{\perp}+2 g_{||})$.

¹ H. M. ASSENHEIM, Introduction to Electron Spin Resonance, Hilger and Watts, London 1966, p. 114.

² L. A. BLJUMENFELD, W. M. WOJEWODSKI U. A. G. SEMJONOW, Die Anwendung der paramagnetischen Elektronenresonanz in der Chemie, Akademische Verlagsgesellschaft, Frankfurt/ Main 1966, p. 143.

³ F. K. Kneubühl, J. chem. Physics 33, 1074 [1960].

⁴ D. R. Smith u. J. J. Pieroni, Canad. J. Chem. 43, 876, 2141 [1965].

⁵ D. R. Smith u. J. J. Pieroni, Canad. J. Chem. **42**, 2209 [1964].

⁶ A. Salmon, Discuss. Faraday Soc. 36, 286 [1963].

⁷ F. S. Dainton u. G. A. Salmon, Proc. Roy. Soc. [London] Ser. A 285, 319 [1965].

NOTIZEN 1257

zeitig die Konzentration der eingefangenen Elektronen abnimmt. Beim Belichten oder Erwärmen der bestrahlten Proben verringert sich die Stärke des Elektronensignals, während die des Pb-Signals zunimmt. Die gleichen Effekte beobachtet man bei optischen Messungen: die den eingefangenen Elektronen zugeordnete Absorption bei 12 000 Å verringert sich mit steigender Ph₆Pb₂-Konzentration, während gleichzeitig die Intensität einer Bande bei 4740 Å zunimmt. Die Abhängigkeit der Konzentration der eingefangenen Elektronen $[e^{\odot}]$ von der Ph₆Pb₂-Konzentration entspricht der Beziehung

$$\frac{1}{[e^{\ominus}]} = \frac{1}{[e^{\ominus}]_{\mathbf{0}}} + k[\mathrm{Ph}_{\mathbf{0}}\mathrm{Pb}_{\mathbf{2}}].$$

 $([e^{\ominus}]_0$: Konzentration der eingefangenen Elektronen im reinen MTHF-Glas.) Eine derartige Abhängigkeit ist für den Fall zu erwarten, daß der Einfangprozeß der Elektronen durch Störstellen in der Glasmatrix und die Reaktion der Elektronen mit den Ph_6Pb_2 -Molekeln Konkurrenzreaktionen sind.

Die Bande bei 4740 Å verschiebt sich bereits bei geringfügigem Erwärmen auf 5600 Å, wie Abb. 3 zeigt. Um zu entscheiden, ob diese Absorption einem Ion oder Radikal zuzuordnen ist, wurden verschiedene Proben mit Licht der Wellenlänge 5600 Å belichtet. Da sich die Extinktion dabei praktisch nicht änderte, handelt es sich offensichtlich um ein Radikal.

Die optischen Spektren bestrahlter Triphenylbleichlorid- und Triphenylbleiacetat-haltiger MTHF-Gläser sind identisch, unterscheiden sich jedoch in charakteri-

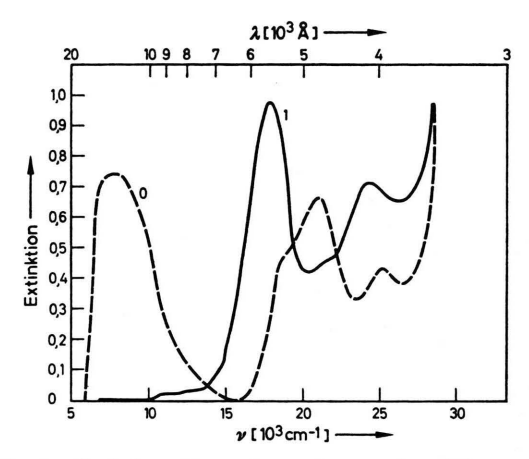


Abb. 3. Optisches Absorptionsspektrum einer Lösung von $3,54\cdot 10^{-2}$ Mol-% Hexaphenyldiblei in 2-Methyltetrahydrofuran. Absorbierte Dosis $\approx 1,6\cdot 10^4$ rad. Kurve 0: unmittelbar nach der Bestrahlung bei -192 °C. Kurve 1: bei -180 °C. Schichtdicke 2 cm.

stischer Weise von dem Spektrum der Ph₆Pb₂-MTHF-Gläser. Vermutlich entstehen daher im zuletzt genannten System nicht Ph₃Pb·-, sondern Ph₃Pb-PbPh₂-Radikale.

Dem Organish Chemisch Instituut T.N.O., Utrecht, danken wir für die Überlassung der Substanzen.